

На основе исследования уравнения геодезических линий в однородной и изотропной Вселенной с метрикой Логанова рассмотрен эффект красного смещения фотонов. Показано, что интерпретация Логанова красного смещения имеет место и в случае вакуумоподобной космологической среды.

Введение

Обычно считается, что для любой нестатической космологической модели собственное расстояние между пробными частицами, измеряемое с помощью приложенной к ним "жесткой линейки", меняется со временем ввиду зависимости $g_{\mu\nu}$ от t . Поэтому считается, что свет, излучаемый частицами (туманностями), испытывает красное смещение из-за Доплер-эффекта, связанного с общим расширением Вселенной, хотя реальность жесткости линейки космологического масштаба сомнительна [1–6].

Принципиально иная интерпретация красного смещения для обычной среды возникает в теории Логанова. Дело в том, что для метрики Логанова [7] смещенные компоненты тензора Риччи равны нулю, так что из уравнений Гильберта-Эйнштейна-Логанова следует, что соответствующие компонен-

ты тензора энергии-импульса космологической жидкости также равны нулю. Отсюда делается вывод [8], что пространственные компоненты скорости равны нулю. Последнее означает, что реально красное смещение связано не с движением галактик, а согласно принципу геометризации Логанова $\ddot{g}_{\mu\nu} = \dot{\gamma}_{\mu\nu} + \dot{\Phi}_{\mu\nu}$, с изменением гравитационного поля $\Phi_{\mu\nu}$ со временем, которому, по-видимому, подвержены лишь гравитационные поля скопленных галактик, т.к. только при таком масштабе имеет смысл понятие однородности космологической среды. Изменение же гравитационного поля может быть обусловлено постоянной составляющей скалярного потенциала [9], имитирующей космологическую постоянную.

Так как для вакуумоподобной среды $\varepsilon + p = 0$, то из равенства

$$T_{0i} = \sqrt{-g}[(\varepsilon + p) u_0 u_i] = 0$$

в общем случае не следует, что пространственные компоненты скорости $u_i=0$. Поскольку вакуумоподобная состояние космической среды играет ключевую роль в инфляционных теориях эволюции ранней Вселенной и в космологии Глинера, то эффект красного смещения для вакуумоподобной среды требует отдельного рассмотрения. В этой связи в работе проведено рассмотрение красного смещения на основе исследования уравнения геодезических линий для вакуумоподобной среды без использования уравнений Гильберта-Эйнштейна-Логунова и предположения идеальной жидкости.

Геодезические линии во Вселенной с метрикой Логунова

Для метрики Логунова [7]

$$ds^2 = a^6(x^0)(dx^0)^2 - a^2(x^0)[dr^2 + r^2(\sin^2(\vartheta)d\psi^2 + d\vartheta^2)] \quad (1)$$

смешанные компоненты тензора Риччи равны нулю

$$R_{0i} = 0, \quad i = 1, 2, 3.$$

Тогда из уравнений Гильберта-Эйнштейна-Логунова

$$R_{\mu\nu} - \frac{m^2}{2}(g_{\mu\nu} - \gamma_{\mu\nu}) = \frac{8\pi G}{\sqrt{-g}} \left[T_{\mu\nu} - \frac{1}{2} g_{\mu\nu} T \right], \quad (2)$$

$$D_\mu \tilde{g}^{\mu\nu} = \partial_\mu \tilde{g}^{\mu\nu} + \gamma_{\alpha\beta}^\nu \tilde{g}^{\alpha\beta} = 0 \quad (3)$$

следует, что соответствующие компоненты тензора энергии-импульса космологической жидкости также равны нулю

$$T_{0i} = \sqrt{-g}[(\varepsilon + p) u_0 u_i] = 0, \quad (4)$$

ε – плотность вещества, p – давление, $g_{\mu\nu}$ – метрический тензор **эффективного** риманова пространства, $\gamma_{\mu\nu}$ – метрический тензор реального пространства Минковского, $\gamma_{\mu\nu}^\alpha$ – символы Кристоффеля пространства Минковского, $\tilde{g}^{\mu\nu} = \sqrt{-g} g^{\mu\nu}$, m – масса гравитона, G – гравитационная постоянная, u_i – пространственные компоненты скорости, r, ϑ, Ψ – лагранжеские координаты. Отсюда делается вывод [8], что пространственные компоненты скорости $u_i=0$. Так как для вакуумоподобной среды $\varepsilon+p=0$, то из равенства $T_{0i} = \sqrt{-g}[(\varepsilon+p)u_0 u_i] = 0$ в общем случае не следует, что $u_i=0$. В этой связи рассмотрим эффект красного смещения для вакуумоподобной среды без использования уравнений (2, 3).

Уравнения движения для пробной материальной частицы или фотона запишем в виде уравнений геодезических в **эффективном** римановом пространстве с метрикой (1)

$$\frac{d^2 x^m}{d\sigma^2} + \Gamma_{pq}^m \frac{dx^p}{d\sigma} \frac{dx^q}{d\sigma} = 0, \quad (5)$$

σ – параметр траектории. Для метрики (1) компоненты связности Γ_{pq}^m , отличные от нуля, равны:

$$\Gamma_{00}^0 = 3 \frac{a'}{a}, \quad \Gamma_{11}^0 = \frac{1}{a^4} \frac{a'}{a}, \quad \Gamma_{22}^0 = \frac{r^2}{a^4} \frac{a'}{a},$$

$$\Gamma_{33}^0 = \sin^2(\vartheta) \Gamma_{22}^0, \quad \Gamma_{01}^1 = \frac{a'}{a} = \Gamma_{02}^2 = \Gamma_{03}^3$$

$$\Gamma_{12}^2 = \Gamma_{13}^3 = \frac{1}{r}, \quad \Gamma_{22}^1 = -r, \quad \Gamma_{33}^1 = -r \sin^2(\vartheta),$$

$$\Gamma_{33}^2 = -\sin(\vartheta) \cos(\vartheta), \quad \Gamma_{23}^3 = \text{ctg}(\vartheta), \quad (6)$$

$$a' = \frac{da}{dt}, \quad t \equiv x^0.$$

Теперь запишем (5) в явном виде. На основании (6) из (5) найдем:

$$\frac{d^2 t}{d\sigma^2} + 3H \left(\frac{dt}{d\sigma} \right)^2 + \frac{H}{a^4} \times \left[\left(\frac{dr}{d\sigma} \right)^2 + r^2 \left(\frac{d\vartheta}{d\sigma} \right)^2 + r^2 \sin^2(\vartheta) \left(\frac{d\psi}{d\sigma} \right)^2 \right] = 0, \quad (7)$$

$$\frac{d^2 r}{d\sigma^2} + 2H \left(\frac{dt}{d\sigma} \right) \left(\frac{dr}{d\sigma} \right) - r \left(\frac{d\vartheta}{d\sigma} \right)^2 - r \sin^2(\vartheta) \left(\frac{d\psi}{d\sigma} \right)^2 = 0, \quad (8)$$

$$\frac{d^2 \vartheta}{d\sigma^2} + 2H \left(\frac{dt}{d\sigma} \right) \left(\frac{d\vartheta}{d\sigma} \right) + \frac{2}{r} \left(\frac{dr}{d\sigma} \right) \left(\frac{d\vartheta}{d\sigma} \right) - \sin(\vartheta) \cos(\vartheta) \left(\frac{d\psi}{d\sigma} \right)^2 = 0, \quad (9)$$

$$\frac{d^2 \psi}{d\sigma^2} + 2H \left(\frac{dt}{d\sigma} \right) \left(\frac{d\psi}{d\sigma} \right) + \frac{2}{r} \left(\frac{dr}{d\sigma} \right) \left(\frac{d\psi}{d\sigma} \right) + 2 \text{ctg}(\vartheta) \left(\frac{d\vartheta}{d\sigma} \right) \left(\frac{d\psi}{d\sigma} \right) = 0. \quad (10)$$

$$\text{Здесь } H \equiv \frac{a'}{a}.$$

Поскольку поле изотропно, то можно рассматривать только те траектории, которые лежат в экваториальной плоскости. Следовательно, можно в уравнениях положить $\vartheta = \pi/2$. Тогда (9) выполняется тождественно, а (7), (8), (10) примут вид:

$$\frac{d^2 t}{d\sigma^2} + 3H \left(\frac{dt}{d\sigma} \right)^2 + \frac{H}{a^4} \left[\left(\frac{dr}{d\sigma} \right)^2 + r^2 \left(\frac{d\psi}{d\sigma} \right)^2 \right] = 0, \quad (11)$$

$$\frac{d^2 r}{d\sigma^2} + 2H \left(\frac{dt}{d\sigma} \right) \left(\frac{dr}{d\sigma} \right) - r \left(\frac{d\psi}{d\sigma} \right)^2 = 0, \quad (12)$$

$$\frac{d^2 \psi}{d\sigma^2} + 2H \left(\frac{dt}{d\sigma} \right) \left(\frac{d\psi}{d\sigma} \right) + \frac{2}{r} \left(\frac{dr}{d\sigma} \right) \left(\frac{d\psi}{d\sigma} \right) = 0. \quad (13)$$

Первые интегралы, соответствующие (11–13), легко получить, так как форма интервала (1) сама дает один интеграл, а формальные решения двух других уравнений легко угадать. В результате получаем

$$\frac{dt}{d\sigma} = \frac{C}{a^3}, \quad (14)$$

$$\frac{d\psi}{d\sigma} = \frac{h}{a^2 r^2}, \quad (15)$$

$$\frac{dr}{d\sigma} = \pm \frac{i h}{a^2 r}. \quad (16)$$

где C, h – постоянные интегрирования, i – мнимая единица.

Из (16) следует, что, если процессы в модели должны носить действительный характер, то постоянная интегрирования h должна равняться нулю, так что уравнения движения принимают вид

$$\frac{dt}{d\sigma} = \frac{C}{a^3}, \quad \frac{dr}{d\sigma} = 0, \quad \frac{d\psi}{d\sigma} = 0. \quad (17)$$

Из (17) следует, что для мировых линий массивных частиц $ds^2 > 0$.

Найдем теперь связь между собственным временем τ и параметром траектории движения σ . Собственное время τ определим из интервала (1) при $\vartheta = \pi/2$

$$d\tau^2 = \left[a^6 \left(\frac{dt}{d\sigma} \right)^2 - a^2 \left[\left(\frac{dr}{d\sigma} \right)^2 + r^2 \left(\frac{d\psi}{d\sigma} \right)^2 \right] \right] d\sigma^2. \quad (18)$$

Учитывая в выражении (18) уравнения (17), получаем

$$d\tau^2 = C^2 d\sigma^2. \quad (19)$$

На основании (17) и (19) можно связать между собой собственное время τ и временную координату пространства Минковского t :

$$d\tau^2 = a^6 dt^2.$$

Тогда при $C \neq 0$

$$\frac{C}{a^3} \frac{dr}{dt} = C \frac{dr}{d\tau} = \frac{dr}{d\sigma} = 0, \quad (20)$$

так что $\frac{dr}{dt} = \frac{dr}{d\tau} = 0$.

Так как для частиц с массой покоя, равной нулю, $d\tau=0$, то из (19) видим, что для фотонов $C=0$, так что в этом случае из (20) не следует, что $\frac{dr}{dt} = \frac{dr}{d\tau} = 0$.

Из формулы для интервала (1) видно, что скорость луча света равна

$$\frac{dr}{d\tau} = \pm \frac{1}{a}. \quad (21)$$

Из (21) можно найти момент t_r , когда свет достигнет начала координат, если момент испускания был t_e , а излучающая частица закреплена на расстоянии r от центра:

$$\int_{t_e}^{t_r} \frac{d\tau}{a} = \int_0^r dr = r = \text{const}. \quad (22)$$

Дифференцируя равенство (22), получаем уравнение

$$\frac{dt_r}{a(t_r)} - \frac{dt_e}{a(t_e)} = 0. \quad (23)$$

Переходя в (23) к частоте, имеем

$$\frac{\omega_e}{\omega_r} = \frac{a(t_r)}{a(t_e)}. \quad (24)$$

Вводя параметр красного смещения $z = \frac{\omega_e - \omega_r}{\omega_r}$, из (24) получим известный результат

$$z = \frac{a(t_r)}{a(t_e)} - 1.$$

Так как, согласно (20), отсутствует какое-либо движение вещества, то природа красного смещения связана не с разлетом галактик, а с изменением гравитационного поля со временем $\Phi_{\mu\nu}(a(t)) = \tilde{g}_{\mu\nu} - \tilde{\gamma}_{\mu\nu}$, т.е. связано с тем, что $a(t_r) > a(t_e)$.

Найдем расстояние l между излучателем и наблюдателем сегодня для Вселенной без сингулярности, заполненной самодействующим скалярным полем, постоянная составляющая потенциала которого способно имитировать космологическую постоянную [9]. Таким образом, такая модель Вселенной в отличие от деситтеровской модели допускает наличие конечной концентрации материи во Вселенной в виде скалярного поля.

Введем величину $l = ra$. Тогда из (21) получим линейное дифференциальное уравнение для величины l

$$l' - \left(\frac{a'}{a} \right) l = \pm 1,$$

общее решение которого:

$$l = a(t) \left[\int_0^t \frac{d\tau}{a(\tau)} + C_1 \right], \quad \text{либо} \quad l = a(t) \left[\int_t^\infty \frac{d\tau}{a(\tau)} + C_2 \right]$$

где $C_{1,2}$ – константы интегрирования.

Для решения $a = a_0 \text{ch}^{1/3}(vt)$ [9] нетрудно получить, что расстояние l , пройденное светом за промежуток времени $\Delta t = t_r - t_e$, равно

$$\begin{aligned} \tilde{l} = a(\Delta t) \int_0^{\Delta t} \frac{d\tau}{a[\tau]} &= (1+z) l_0 \times \\ &\times 3\sqrt[3]{2} \left[{}_2F_1 \left(\frac{1}{3}, \frac{1}{6}; \frac{7}{6}; -1 \right) - \exp \left(-\frac{v\Delta t}{3} \right) \times \right. \\ &\left. \times {}_2F_1 \left(\frac{1}{3}, \frac{1}{6}; \frac{7}{6}; -\exp(-2v\Delta t) \right) + C_1 \right], \end{aligned}$$

где $l_0 = v^{-1}$, ${}_2F_1(a, b; c; z)$ – гипергеометрическая функция, $v = \sqrt{24\pi G U_0}$, $v\Delta t = \text{Arch}([1+z]^3)$, U_0 – постоянная составляющая скалярного потенциала. Аналогично, для "горизонта событий"

$$\begin{aligned} l_s = a(t) \int_t^\infty \frac{d\tau}{a[\tau]} &= \text{ch}^{1/3}(vt) l_0 \times \\ &\times 3\sqrt[3]{2} \left[\exp \left(-\frac{vt}{3} \right) {}_2F_1 \left(\frac{1}{3}, \frac{1}{6}; \frac{7}{6}; -\exp(-2vt) \right) + C_2 \right]. \end{aligned}$$

В заключение отметим, что Мир без сингулярности, описываемый решением $a = a_0 \text{ch}^{1/3}(vt)$ [9], для наглядной интерпретации удобно рассматривать как четырехмерный однополостный гиперболоид

$$Z_0^2 - Z_1^2 - Z_2^2 - Z_3^2 - Z_4^2 = -R^2(t)$$

в пятимерном пространстве Минковского (Z_0, Z_1, Z_2, Z_3, Z_4), обладающем метрикой

$$ds^2 = dZ_0^2 - dZ_1^2 - dZ_2^2 - dZ_3^2 - dZ_4^2 = dt^2 - a^2 dx^2, \quad (25)$$

где $Z_i = a_0 \operatorname{ch}^{1/3}(vt) \cdot x_i, i = 1, 2, 3,$

$$Z_4 = \frac{1}{2} \operatorname{ch}^{1/3}(vt) - \frac{1}{2} a_0^2 \operatorname{ch}^{1/3}(vt) \cdot x^2 + \left(\frac{3}{v}\right)^2 f(t),$$

$$Z_0 = \frac{1}{2} \operatorname{ch}^{1/3}(vt) + \frac{1}{2} a_0^2 \operatorname{ch}^{1/3}(vt) \cdot x^2 - \left(\frac{3}{v}\right)^2 f(t),$$

$$\frac{df(t)}{dt} = -\frac{v}{6} \frac{\operatorname{ch}^{2/3}(vt)}{\operatorname{sh}(vt)},$$

$$f(t) = -\frac{1}{12} \left[\ln\left(\frac{y-1}{y+1}\right) - \frac{1}{2} \ln\left(\frac{y^2+y+1}{y^2-y+1}\right) + \sqrt{3} \cdot \operatorname{arctg}(\sqrt{3}(2y+1)) + \sqrt{3} \cdot \operatorname{arctg}(\sqrt{3}(2y-1)) \right],$$

$$y = \operatorname{ch}^{1/3}(vt),$$

$$R^2(t) = 2\left(\frac{3}{v}\right)^2 \operatorname{ch}^{1/3}(vt) \cdot f(t),$$

$$a^6(dx^0)^2 = dt^2 \quad \lim_{t \rightarrow 0} R(t) \rightarrow \infty.$$

Симметричная форма интервала (25), полученная ценою перехода в пространство большего числа измерений, показывает, что модель пространственно однородна и согласуется со следствием теоремы Шура, известной в римановой геометрии, из которой следует, что если подпространство при постоянном t изотропно в **каждой** точке, то оно с необходимостью и однородно.

Нетрудно видеть, что выбранная система координат покрывает половину гиперboloида $Z_0 + Z_4 > 0$. Так как минимальный радиус горловины однополостного гиперboloида $R(t)$ зависит от времени, то, в отличие от Мира де Ситтера, эволюцию такой Вселенной нельзя устранить преобразованием координат. Строгое рассмотрение этого вопроса осуществлено в работе [10].

Соотношение наблюдаемая "звездная величина – красное смещение"

В заключение сравним модель Вселенной без сингулярности [9] с наблюдательными данными. Для этого рассмотрим соотношение "видимая звездная величина – красное смещение" z , играющее важную роль в наблюдательной астрономии.

Известно, что видимая звездная величина $m(z)$ космического объекта определяется формулой [1]

$$m(z) = -2,5 \lg \left[\frac{S}{2,52 \cdot 10^{-5} \text{ эрг/}(\text{см}^3 \cdot \text{с})} \right],$$

где S – поток энергии, приходящий от объекта на Землю, и

$$S = \frac{L}{4\pi l^2(1+z)^2};$$

здесь L – собственная светимость галактики. При этом для ближайших излучателей ($z < 1$) приближенное значение соотношения "видимая звездная величина – красное смещение", полученное разложением $a(t)$ в ряд по степеням t с коэффициентами, определяемыми из данных наблюдений, дается выражением

$$m1(z) \approx 5 \cdot \lg z + 1,086 \cdot (1 - q_0)z + o(z^2) - 2,5 \lg(L) + \text{const},$$

где $q_0 = -\frac{a''}{a} \cdot \frac{1}{H_0^2}$ – параметр замедления, H_0 – се-

годняшнее значение "постоянной Хаббла" [1].

Для точного же решения $a = a_0 \operatorname{ch}^{1/3}(vt)$ космологической модели Вселенной без сингулярности [9] видимая величина равна

$$m2(z) = 5 \lg[(1+z)\tilde{l}] - 2,5 \lg(L) + \text{const}.$$

Для такого решения параметр "замедления" вычисляется в явном виде

$$q = -\left[1 + \frac{3}{\operatorname{sh}^2(vt)} \right],$$

который в данном случае уместно назвать параметром ускорения. Сравним графически известный результат $m1(z)$ с полученным в данной статье точным результатом $m2(z)$.

Графики величин представлены на первом рисунке и построены с использованием компьютерной программы "MathCad 2001".

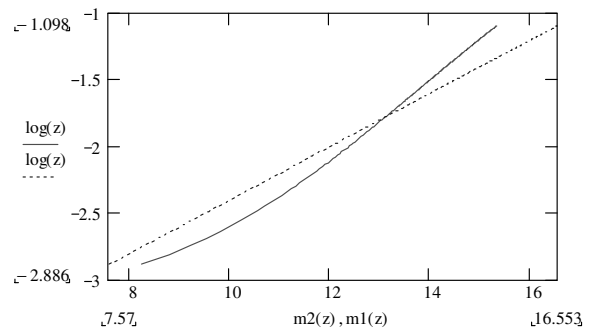


Рис. 1. Пунктирная линия – соотношение "видимая величина – красное смещение" $m1(z)$; $m2(z)$ – сплошная линия

Из рис. 1 видно, что если теоретическую линию $m1(z)$ сопоставить с линией, полученной из наблюдательных данных методом наименьших квадратов для ScI галактик [1], то сплошная кривая $m2(z)$ располагается ближе к экспериментальной линии, чем пунктирная прямая $m1(z)$.

Соотношение "красное смещение – расстояние" $z = \tilde{l}/l_0$ представлено на рис. 2.

Из рис. 2 видно, что при $z > 0,1$ зависимость красного смещения от расстояния является линейной и постоянную $l_0^{-1} = \sqrt{24\pi C U_0}$, являющуюся аналогом "постоянной Хаббла", можно определить пу-

тем измерения красного смещения z [1] и вычисления \tilde{l} из соотношения

$$m - M = 5 \lg \left(\frac{\tilde{l}}{10 \text{ пс}} \right)$$

по измеренной видимой величине m и абсолютной

$$\text{величине } M = -2,5 \lg \left(\frac{L}{3,0 \cdot 10^{35} \text{ эрг/с}} \right).$$

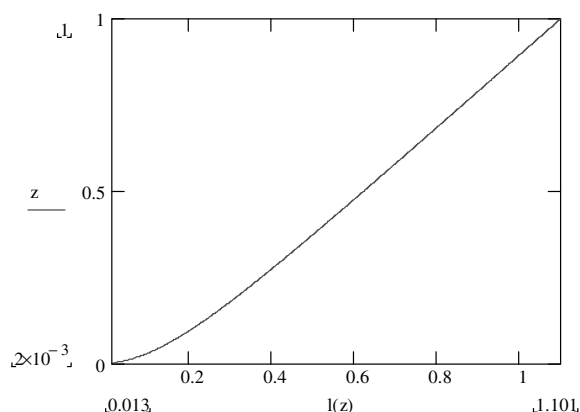


Рис. 2. Зависимость красного смещения $z(\tilde{l})$ от расстояния \tilde{l}/l_0 , пройденного светом за промежуток времени $\Delta t = t_r - t_e$

СПИСОК ЛИТЕРАТУРЫ

1. Мизнер Ч., Торн К., Уилер Дж. Гравитация. — Т. 2. — М.: Мир, 1977. — 525 с.
2. Толмен Р. Относительность, термодинамика и космология. — М.: Наука, 1974. — 520 с.
3. Чернин А.Д. Космический вакуум // Успехи физических наук. — 2001. — Т. 171. — № 11. — С. 1153–1175.
4. Зельдович Я.Б., Новиков И.Д. Строение и эволюция Вселенной. — М.: Наука, 1975. — 450 с.
5. Линде А.Д. Физика элементарных частиц и инфляционная космология. — М.: Наука, 1990. — 420 с.
6. Долгов А.Д., Зельдович Я.Б., Сажин М.В. Космология ранней Вселенной. — М.: Изд-во МГУ, 1988. — 510 с.

Проведенное рассмотрение позволяет сделать следующие выводы:

1. Интерпретация Логанова эффекта красного смещения остается в силе и для вакуумоподобной космологической среды. Интерпретация Логанова является реальной, а расширение Вселенной, лежащее в основе традиционной интерпретации эффекта красного смещения, является лишь эффективным из-за **эффективности** самого риманова пространства.
2. В однородной и изотропной Вселенной с метрикой Логанова эволюция гравитационного поля обуславливает эффект красного смещения энергии только для частиц с нулевой массой покоя, так что вещество не следует за ростом масштабного фактора.
3. В отличие от деситтеровской модели модель Вселенной без сингулярности допускает наличие конечной концентрации материи во Вселенной и объясняет красное смещение. Модель так же объясняет соотношение "видимая звездная величина — красное смещение".

Полученные на основе теории Логанова результаты позволяют по новому подойти к решению космологических проблем горизонта, причинности, однородности и плоскостности, вновь поставленных в работе Глинера [11].

7. Логанов А.А., Мествиришвили М.А. Релятивистская теория гравитации. — М.: Наука, 1989. — С. 147–170.
8. Логанов А.А. Теория гравитационного поля. — М.: Наука, 2001. — С. 104–125.
9. Ласуков В.В. Вселенная в метрике Логанова // Известия вузов. Физика. — 2002. — № 2. — С. 39–42.
10. Ласуков В.В. Метрика вакуумоподобной сферы в теории Логанова // Известия вузов. Физика. — 2002. — № 11. — С. 24–26.
11. Глинер Э.Б. Раздувающаяся Вселенная и вакуумоподобное состояние физической среды // Успехи физических наук. — 2002. — Т. 172. — № 2. — С. 221–243.